



过程设备机械设计基础

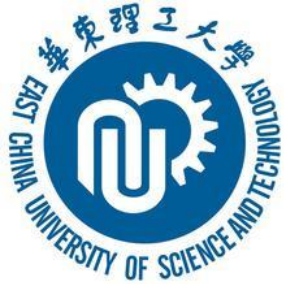
---压杆稳定

主讲：付 尧

电话：64252096

email: fuyao@ecust.edu.cn

学习资料及论坛: www.chenjj.org



压杆失稳

黄毓晖 副教授

华东理工大学 机械与动力工程学院

过程设备科学与工程研究室

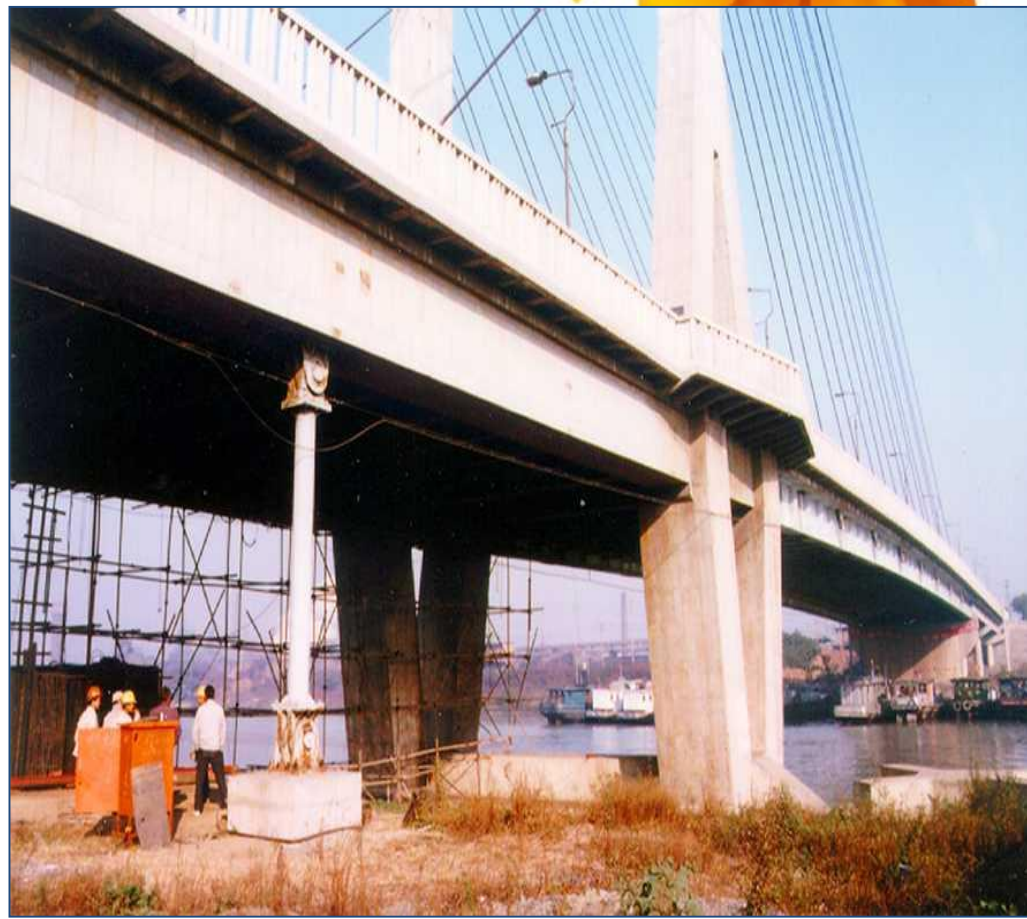
E-mail: yhhuang@ecust.edu.cn

本章内容



- 6.1 压杆失稳的概念
- 6.2 临界压力的确定
- 6.3 欧拉公式的适用范围
- 6.4 压杆稳定性条件/校核
- 6.5 提高压杆稳定性措施

1. 压杆稳定的概念



1. 压杆稳定的概念



机场屋顶支撑结构



支柱式水塔

工程师之戒



工程师之戒：在魁北克大桥第三次竣工后，加拿大的七大工程学院一起出钱将建桥过程中倒塌的残骸全部买下，并把这些钢材打造成一枚枚戒指，发给每年从工程系毕业的学生。

1. 压杆稳定的概念



稳定性：指构件或体系保持其原有平衡状态的能力。

失 稳：指构件或体系丧失原始平衡状态的稳定性，
由稳定平衡状态转变为不稳定状态。

在工程实际中，为了保证构件或结构物能够安全可靠地工作，构件除了满足**强度**、**刚度**条件外，还必须满足**稳定性**的要求。

1. 压杆稳定的概念



平衡的三种状态：

体系受到微小干扰而稍微偏离它原有的平衡状态，当干扰消除后，它**能够**恢复到原有的平衡状态，则原有平衡状态称为**稳定平衡状态**。

当干扰消除后，它**不能够**恢复到原有的平衡状态，且**趋向于远离原有的平衡状态**，则原有平衡状态称为**不稳定平衡状态**。

当干扰消除后，它**不能够**恢复到原有的平衡状态，但**能够在新的状态维持平衡**，则原有平衡状态称为**随遇平衡状态**。

1. 压杆稳定的概念



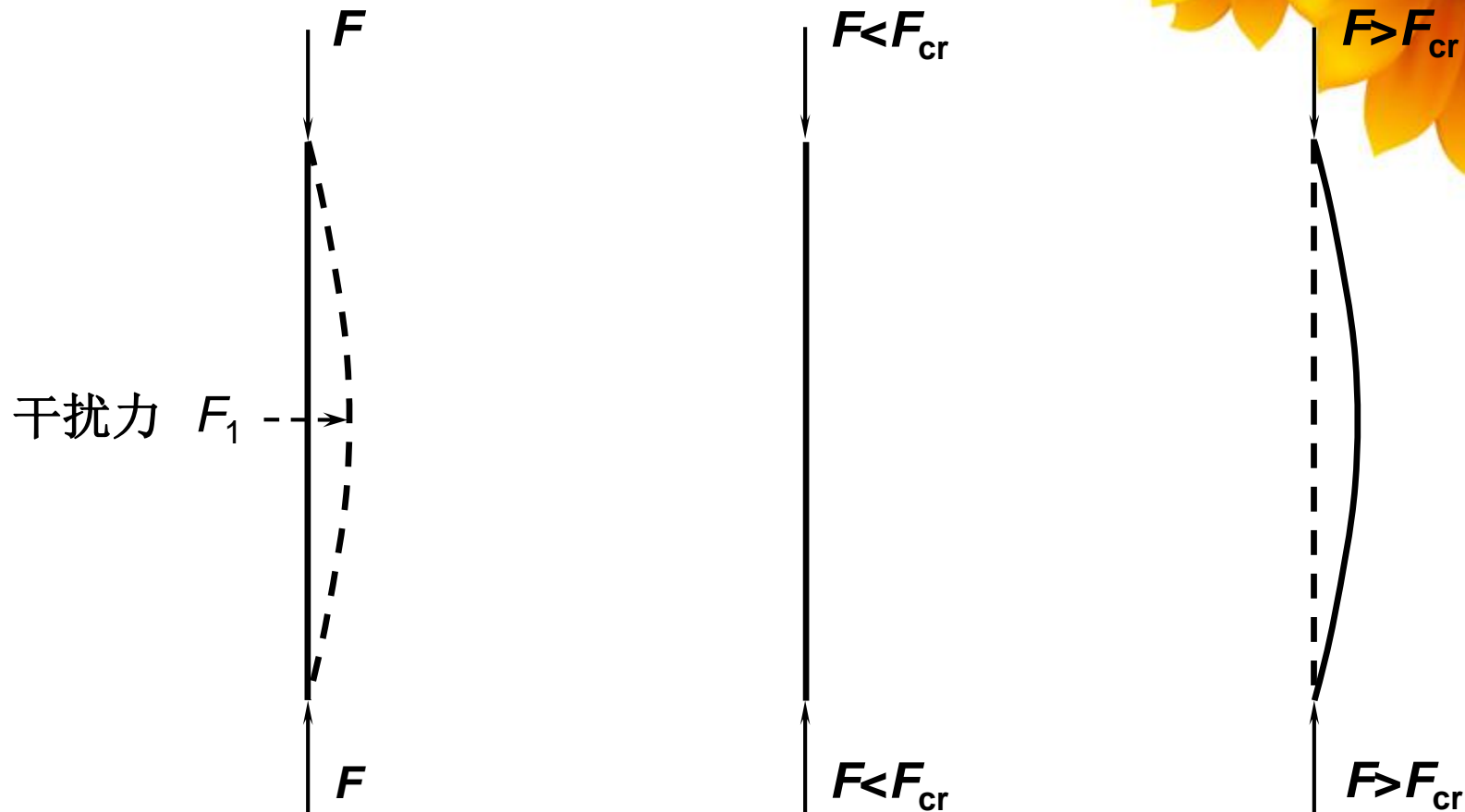
临界平衡状态：压杆处于稳定平衡与不稳定平衡之间的临界状态。

两重性——既可在直线状态保持平衡，又可在微弯状态维持平衡。

临界（压）力：压杆处于临界平衡状态时所受的轴向压力。

F_{cr} 或 使压杆保持直线状态平衡的最大轴向压力。
或 使压杆失稳的最小轴向压力。

1. 压杆稳定的概念

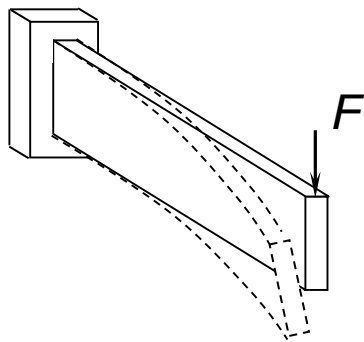


稳定平衡状态

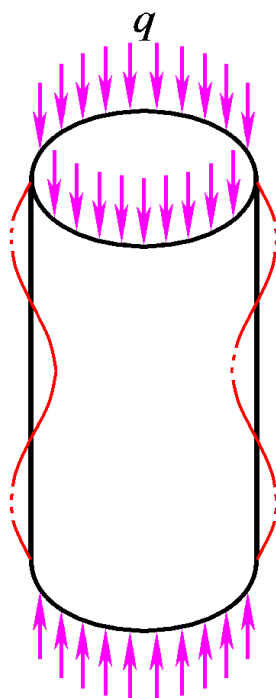
不稳定平衡状态

1. 压杆稳定的概念

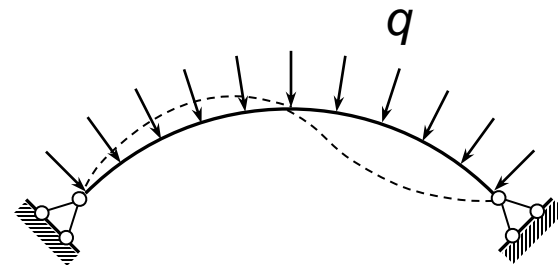
其它形式的构件也存在稳定性问题：



薄壁杆件
弯扭曲屈



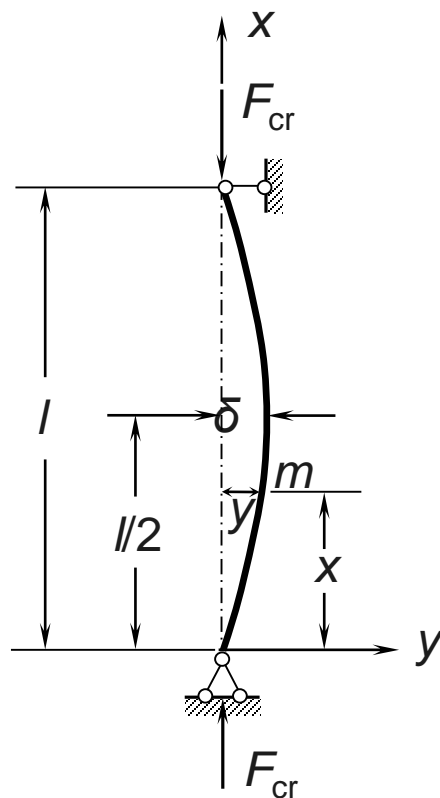
薄壁容器
失稳



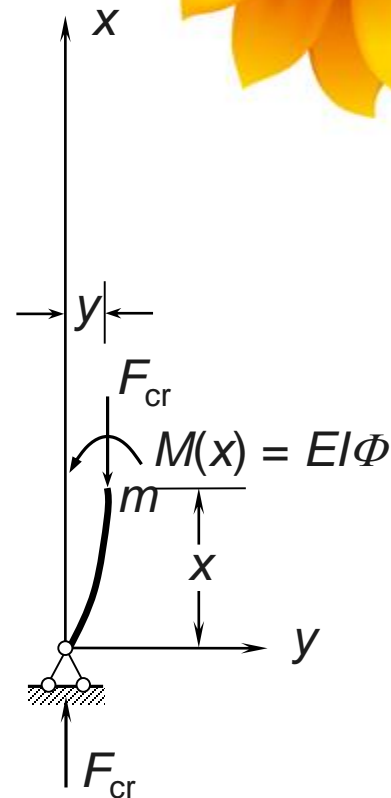
浅拱失稳

2. 临界压力的确定

假设理想压杆处于临界平衡状态的微弯状态，材料处于线弹性范围。距离原点 x 处截面 m 的挠度为 $y=f(x)$ 。



(a)



(b)

2. 临界压力的确定

由图(b)所示隔离体的平衡可知:

$$M(x) = EI\Phi = F_{cr}y$$

而

$$\Phi \approx -y'' \quad \text{转角逆向为正, 顺向为负}$$

则挠曲线近似微分方程为:

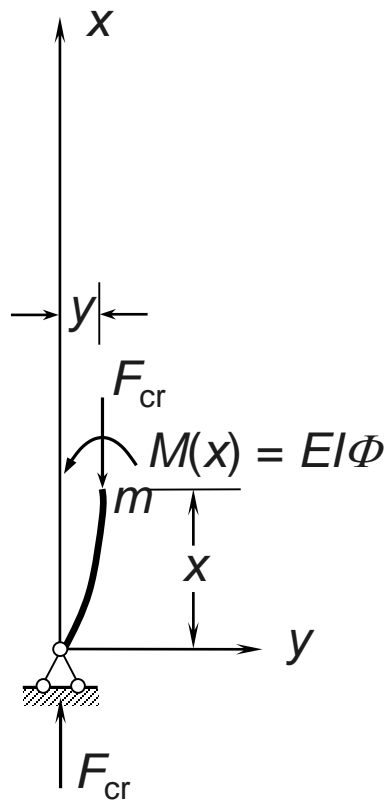
$$y'' + \frac{F_{cr}}{EI}y = 0$$

令

$$k^2 = \frac{F_{cr}}{EI}$$

则

$$y'' + k^2y = 0$$



(b)

2. 临界压力的确定



微分方程的解: $y = A \sin kx + B \cos kx$

边界条件: $y(0) = y(l) = 0$

$$\text{即 } \begin{cases} A \times 0 + B = 0 \\ A \sin kl + B \cos kl = 0 \end{cases} \quad \therefore \begin{cases} B = 0 \\ A \sin kl = 0 \end{cases}$$

又因 $A \neq 0$ $\therefore \sin kl = 0$

$$\text{即 } kl = n\pi \quad (n = 0, 1, 2, 3, \dots) \quad \therefore k^2 = \frac{n^2 \pi^2}{l^2}$$

$$\text{故 } F_{\text{cr}} = \frac{n^2 \pi^2 EI}{l^2} \quad (n = 0, 1, 2, 3, \dots)$$

2. 临界压力的确定

由于临界力 F_{cr} 是使压杆失稳的最小压力，故 n 应取不为零的最小值，即取 $n=1$ 。

$$\therefore F_{cr} = \frac{\pi^2 EI}{(\mu l)^2} \quad \text{—— 欧拉公式}$$

l - 杆的长度

EI - 压杆的抗弯刚度

μ - 长度系数

μl - 当量长度

I 的计算?

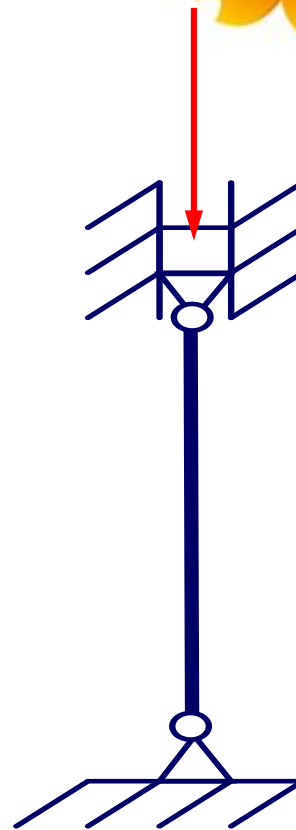
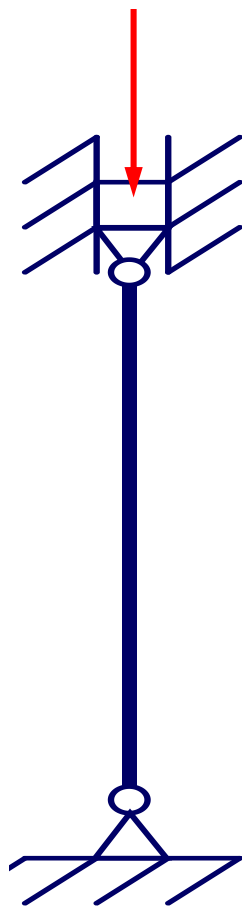
圆截面

$$I_z = \frac{\pi d^4}{64}$$

矩形截面

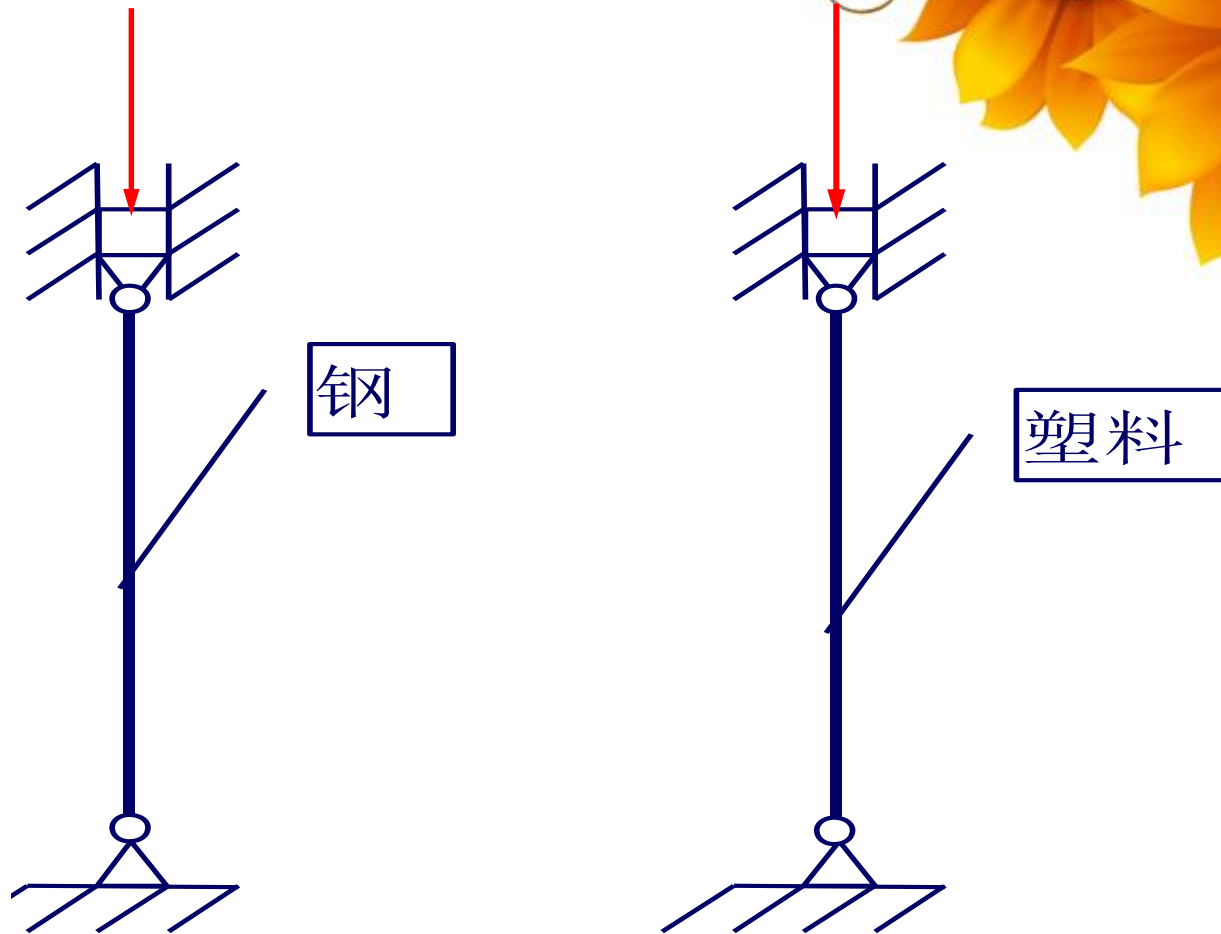
$$I_z = \frac{bh^3}{12}$$

2. 临界压力的确定



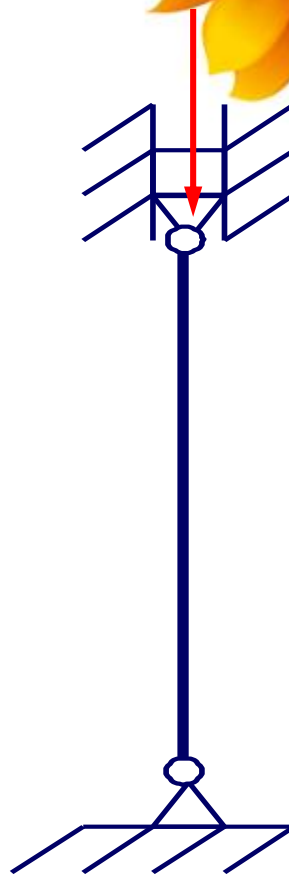
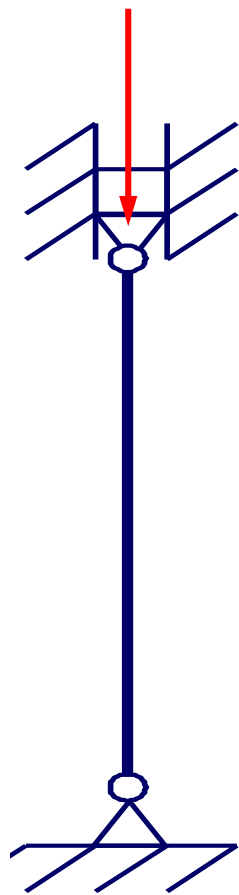
与压杆长度有关 $\Rightarrow F_{cr} \propto 1/l^2$

2. 临界压力的确定



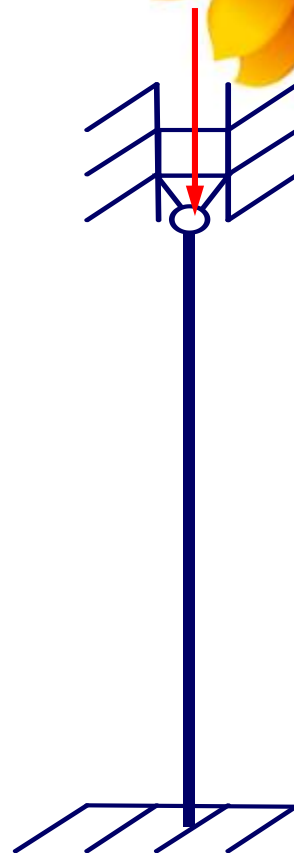
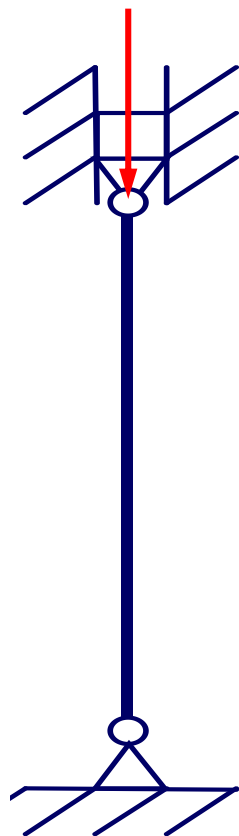
与弹性模量有关 $\Rightarrow F_{cr} \propto E$

2. 临界压力的确定



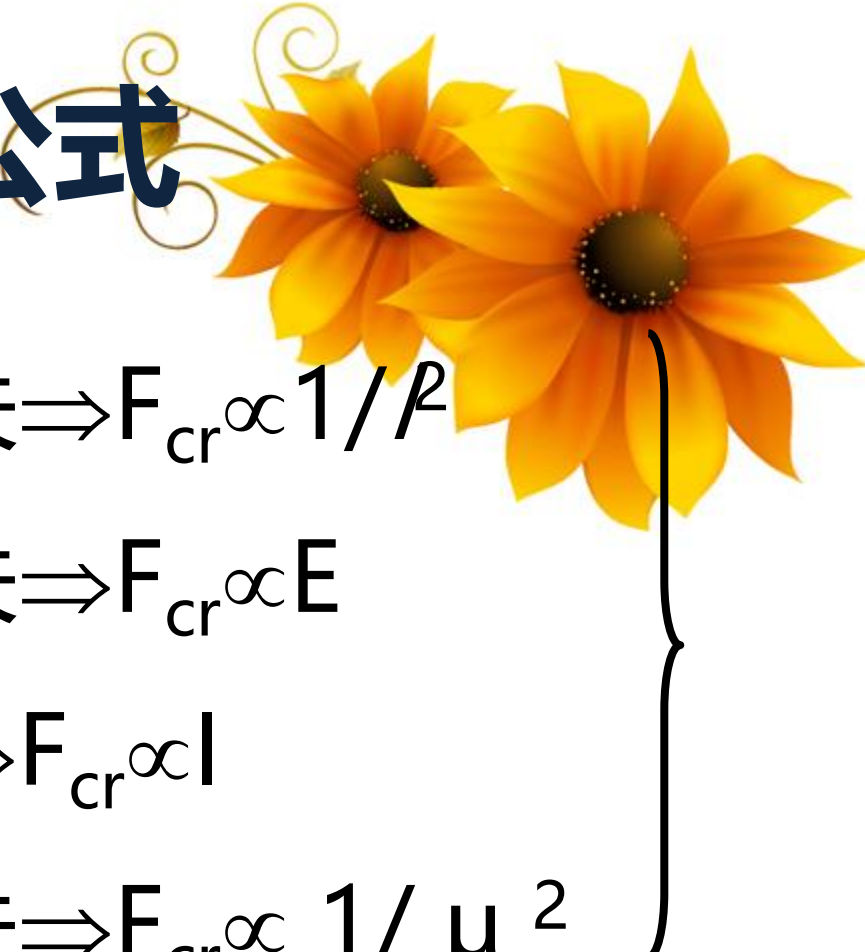
与横截面几何形状有关 \Rightarrow
 $F_{cr} \propto I$ (最小轴惯性矩)

2. 临界压力的确定



与支承有关 $\Rightarrow F_{cr} \propto 1 / \mu^2$
(长度系数 μ)

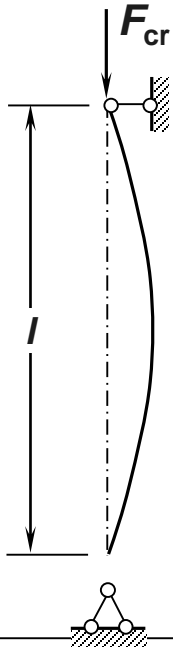
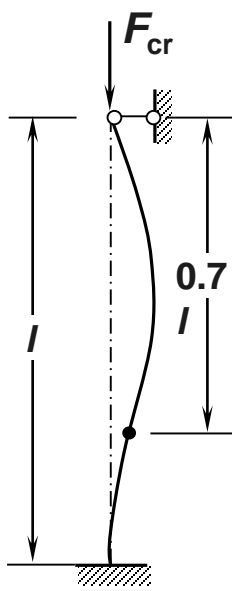
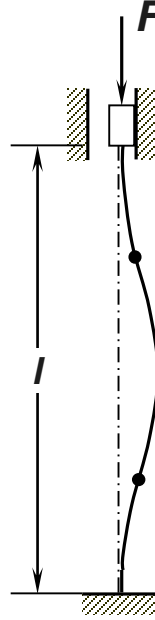
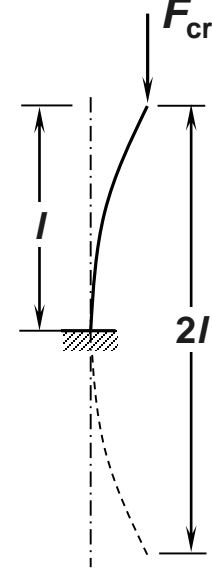
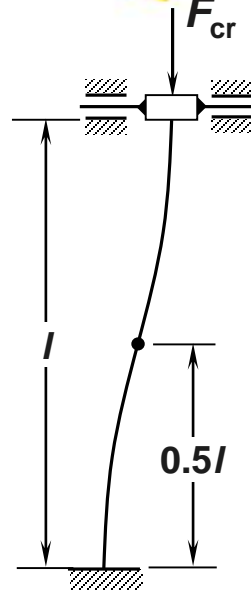
欧拉公式

- 
- 1 与压杆长度有关 $\Rightarrow F_{cr} \propto 1/l^2$
 - 2 与弹性模量有关 $\Rightarrow F_{cr} \propto E$
 - 3 与横截面有关 $\Rightarrow F_{cr} \propto I$
 - 4 与支承情况有关 $\Rightarrow F_{cr} \propto 1/\mu^2$

$$F_{cr} = \frac{\pi^2 EI}{(\mu l)^2}$$

2. 临界压力的确定

各种支承条件下细长压杆的临界力

支承情况	两端铰支	一端固定 一端铰支	两端固定, 但可沿纵向 相对移动	一端固定 一端自由	两端固定, 但可沿横向 相对移动
失稳时挠曲线形状					
临界力	$F_{cr} = \frac{\pi^2 EI}{l^2}$	$F_{cr} = \frac{\pi^2 EI}{(0.7l)^2}$	$F_{cr} = \frac{\pi^2 EI}{(0.5l)^2}$	$F_{cr} = \frac{\pi^2 EI}{(2l)^2}$	$F_{cr} = \frac{\pi^2 EI}{l^2}$
长度系数	$\mu = 1$	$\mu = 0.7$	$\mu = 0.5$	$\mu = 2$	$\mu = 1$

2. 临界压力的确定

例1 已知：压杆为Q235钢， $\mu=1$ ，材料弹性模量
 $E=2 \times 10^5 \text{MPa}$ ，许用应力 $[\sigma]=160 \text{MPa}$ ，求 F_{cr}

解：由稳定性条件得

$$I = bh^3 / 12 = 30 \times 4^3 / 12 = 160 \text{mm}^4$$

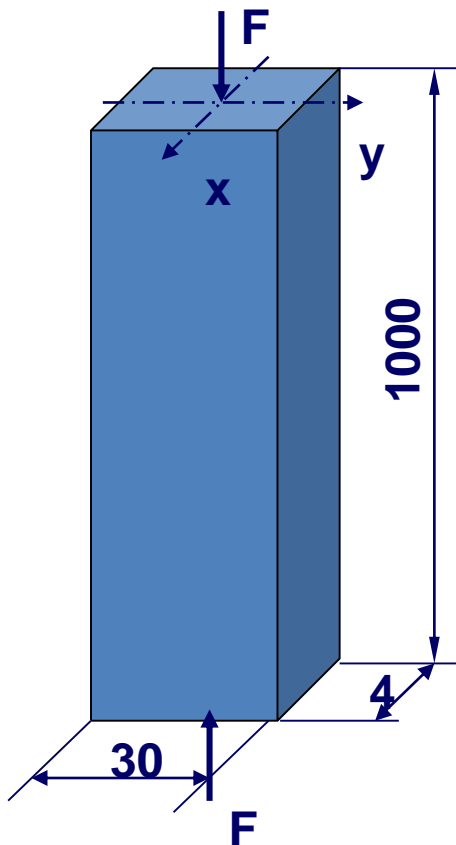
$$F_{cr} = \frac{\pi^2 EI}{(\mu l)^2} = \frac{\pi^2 \times 2 \times 10^5 \times 160}{(1 \times 1000)^2} = 315.5 \text{N}$$

由强度条件：

$$\sigma_{\max} = \frac{N}{A} \leq [\sigma],$$

$$[F] = N \leq A \bullet [\sigma] = 4 \times 30 \times 160 = 19200 \text{N}$$

因此, $F_{cr} = 315.5 \text{N}$



3. 欧拉公式的适用范围

临界应力 $\sigma_{cr} = \frac{F_{cr}}{A} = \frac{\pi^2 EI}{(\mu l)^2 A}$

定义：截面惯性半径 $i = \sqrt{\frac{I}{A}}$

代入： $\sigma_{cr} = \frac{F_{cr}}{A} = \frac{\pi^2 EI}{(\mu l)^2 A} = \frac{\pi^2 E}{(\mu l / i)^2}$

压杆柔度 $\lambda = \frac{\mu l}{i}$

简化后的欧拉公式： $\sigma_{cr} = \frac{\pi^2 E}{\lambda^2}$

3. 欧拉公式的适用范围

假定材料服从虎克定律：

$$\sigma_{cr} = \frac{\pi^2 E}{\lambda^2} \leq \sigma_p \quad \longrightarrow \quad \text{材料的比例极限}$$

欧拉公式的适用范围：

$$\lambda \geq \lambda_p = \sqrt{\frac{\pi^2 E}{\sigma_p}}$$

细长杆 (大柔度杆)： $\lambda \geq \lambda_p$ ，是弹性范围内的失稳引起破坏，由欧拉公式计算

不同材料有不同的 λ_p ： Q235， $\lambda_p \approx 100$

3. 欧拉公式的适用范围

- 当压杆 $\lambda < \lambda_s$, 其应力达到材料的屈服极限时, 压杆也不失稳, 破坏决定于强度, 此时:

$$\sigma_{cr} = \sigma_s$$

对应的柔度为 λ_s

$$\lambda_s = \sqrt{\frac{\pi^2 E}{\sigma_s}}$$

将 $\lambda < \lambda_s$ 的压杆称为小柔度杆（粗短杆）
不存在稳定性问题，而是强度问题。

$$\sigma \leq \sigma_{cr} = \sigma_s$$

3. 欧拉公式的适用范围

• 中长杆：(中柔度杆) $\lambda_s < \lambda < \lambda_p$ 的压杆，主要由超过弹性范围的失稳引起破坏

直线公式： 计算中长杆的临界应力

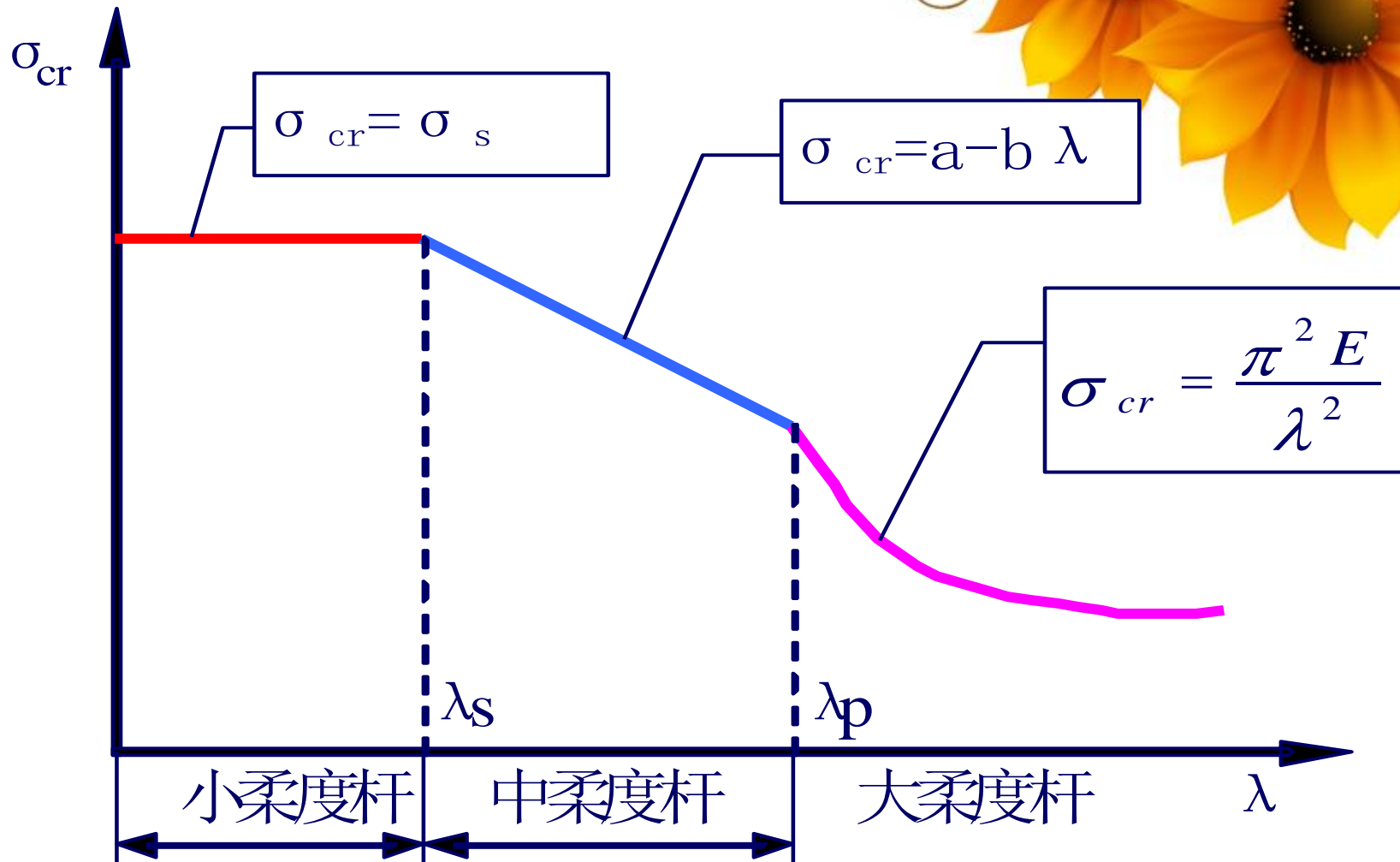
$$\sigma_{cr} = a - b\lambda, (\lambda_s < \lambda < \lambda_p)$$

(a, b : 是与材料性质有关的常数，见表6-2)

由 $\sigma_{cr} = \sigma_s$ ，可导出柔度适用的下限 λ_s ：

$$\lambda_s = \frac{a - \sigma_s}{b}$$

3. 欧拉公式的适用范围



对于Q235钢, $\lambda_p = 100$, $\lambda_s = 61.4$

4. 压杆的稳定性校核

稳定条件: $F \leq \frac{F_{cr}}{n_{cr}} = [F]$

n_{cr} 的取值: 钢 $n_{cr}=1.8\sim3.0$

铸铁 $n_{cr}=5\sim5.5$

木材 $n_{cr}=2.8\sim3.2$

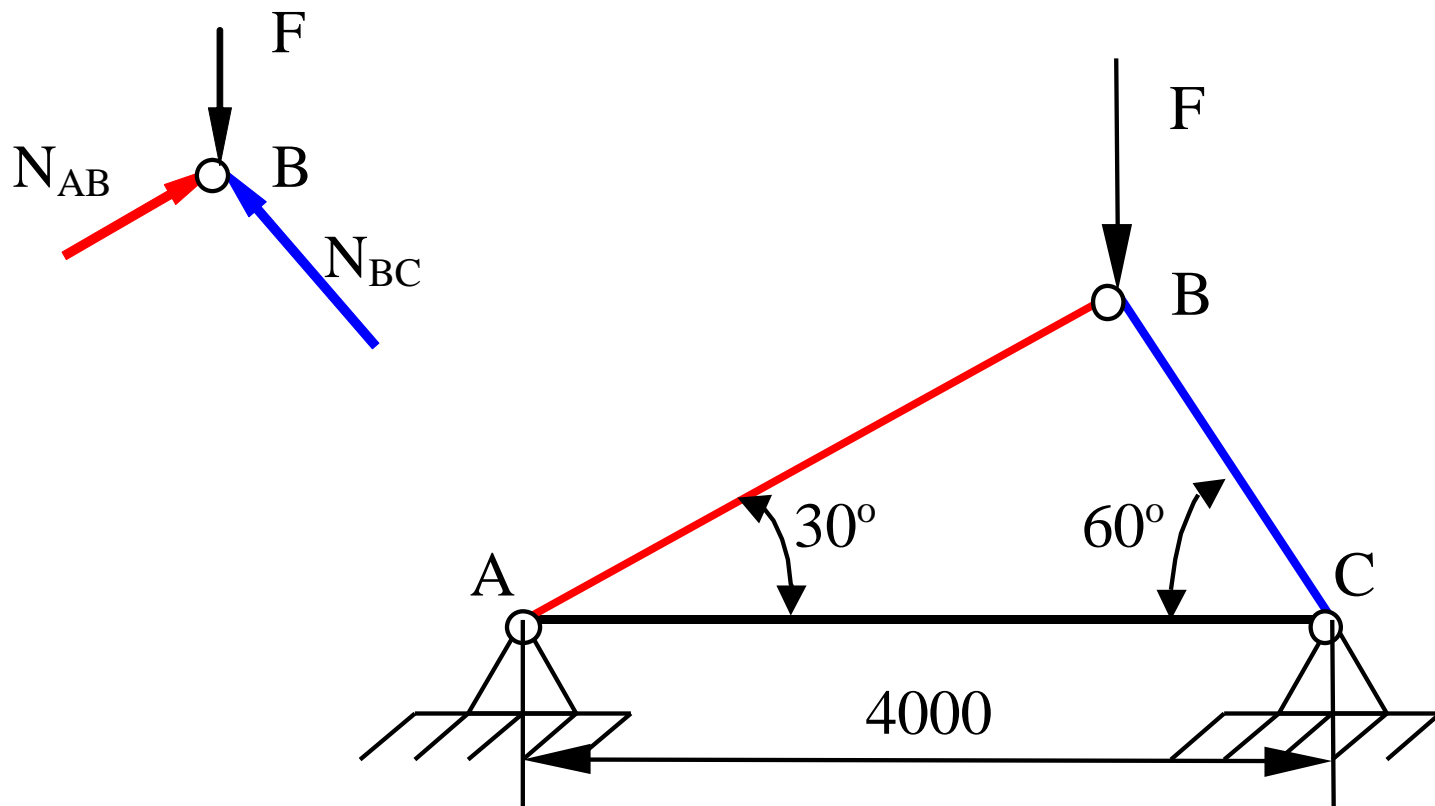
用应力表示: $\sigma = \frac{F}{A} < [\sigma_{cr}]$ $[\sigma_{cr}] = \frac{\sigma_{cr}}{n_{cr}} \approx \phi[\sigma]$

ϕ : 折减系数

用安全系数表示: $n_{cr} = \frac{\sigma_{cr}}{\sigma} \geq [n_{cr}]$

4. 压杆的稳定性校核

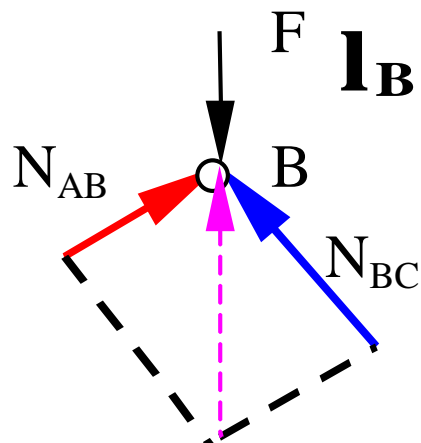
例 2：材料为Q235， $[\sigma]=160\text{MPa}$ ，A、B、C为铰链，杆件的直径为80mm，确定杆系的许可载荷。



4. 压杆的稳定性校核

解: $l_{AB} = 4000 \times \cos 30^\circ = 3460\text{mm}$

$l_{BC} = 4000 \times \sin 30^\circ = 2000\text{mm}$



由静力平衡条件求得:

$$N_{AB} = -F \sin 30^\circ, \quad N_{BC} = -F \cos 30^\circ$$

惯性半径:

$$i = \sqrt{\frac{I}{A}} = \frac{d}{4} = 20\text{mm}$$

$$I_z = \frac{\pi d^4}{64}$$

两端铰支: $\mu = 1$

故各杆的柔度: $\lambda_{AB} = \frac{\mu l_{AB}}{i} = \frac{3460}{20} = 173$

$$\lambda_{BC} = \frac{\mu l_{BC}}{i} = \frac{2000}{20} = 100$$

大柔度杆

4. 压杆的稳定性校核

• 代入欧拉公式:

$$\sigma_{cr}^{AB} = \frac{\pi^2 E}{\lambda^2} = \frac{\pi^2 \times 2 \times 10^5}{173^2} = 65.89 \text{MPa}$$
$$\sigma_{cr}^{BC} = \frac{\pi^2 E}{\lambda^2} = \frac{\pi^2 \times 2 \times 10^5}{100^2} = 197.19 \text{MPa}$$

AB及BC杆的临界载荷为:

$$F_{cr}^{AB} = 65.89 \times \pi \times 40^2 = 331.03 \text{KN}$$

$$F_{cr}^{BC} = 197.19 \times \pi \times 40^2 = 990.68 \text{KN}$$

取安全系数 $n_{cr}=3$, 则杆系的许可载荷:

$$[F] = \min \left\{ F_{cr}^{AB} / n_{cr} \bullet \sin 30^\circ, F_{cr}^{BC} / n_{cr} \bullet \cos 30^\circ \right\}$$
$$= \min \{ 221, 1144 \} = 221 \text{KN}$$

故杆件的许可载荷为221KN

4. 压杆的稳定性校核

• 查表6-3

$$\phi_{AB} = 0.26 \Rightarrow [\sigma_{cr}^{AB}] = \phi_{AB} [\sigma] = 0.26 \times 160 = 41.6 \text{ MPa}$$

$$\phi_{BC} = 0.6 \Rightarrow [\sigma_{cr}^{BC}] = \phi_{BC} [\sigma] = 0.6 \times 160 = 96 \text{ MPa}$$

AB及BC杆的许可载荷为:

$$F_{cr}^{AB} = \sigma_{cr}^{AB} \times \pi \times 40^2 = 188.9 \text{ KN}$$

$$F_{cr}^{BC} = \sigma_{cr}^{BC} \times \pi \times 40^2 = 485.7 \text{ KN}$$

杆系的许可载荷:

$$[F] = \min \{ F_{cr}^{AB} / \sin 30^\circ, F_{cr}^{BC} / \cos 30^\circ \}$$

$$= \min \{ 377.8, 560.9 \} = 377.8 \text{ KN}$$

故杆件的许可载荷为377.78KN

4. 压杆的稳定性校核

• 压杆稳定性的校核步骤

1

- 解平衡方程

2

- 根据压杆的尺寸及支承情况，计算柔度 λ

3

- 根据柔度，确定计算该压杆的临界应力公式，算出临界应力值

4

- 利用压杆的稳定条件对压杆进行稳定校核

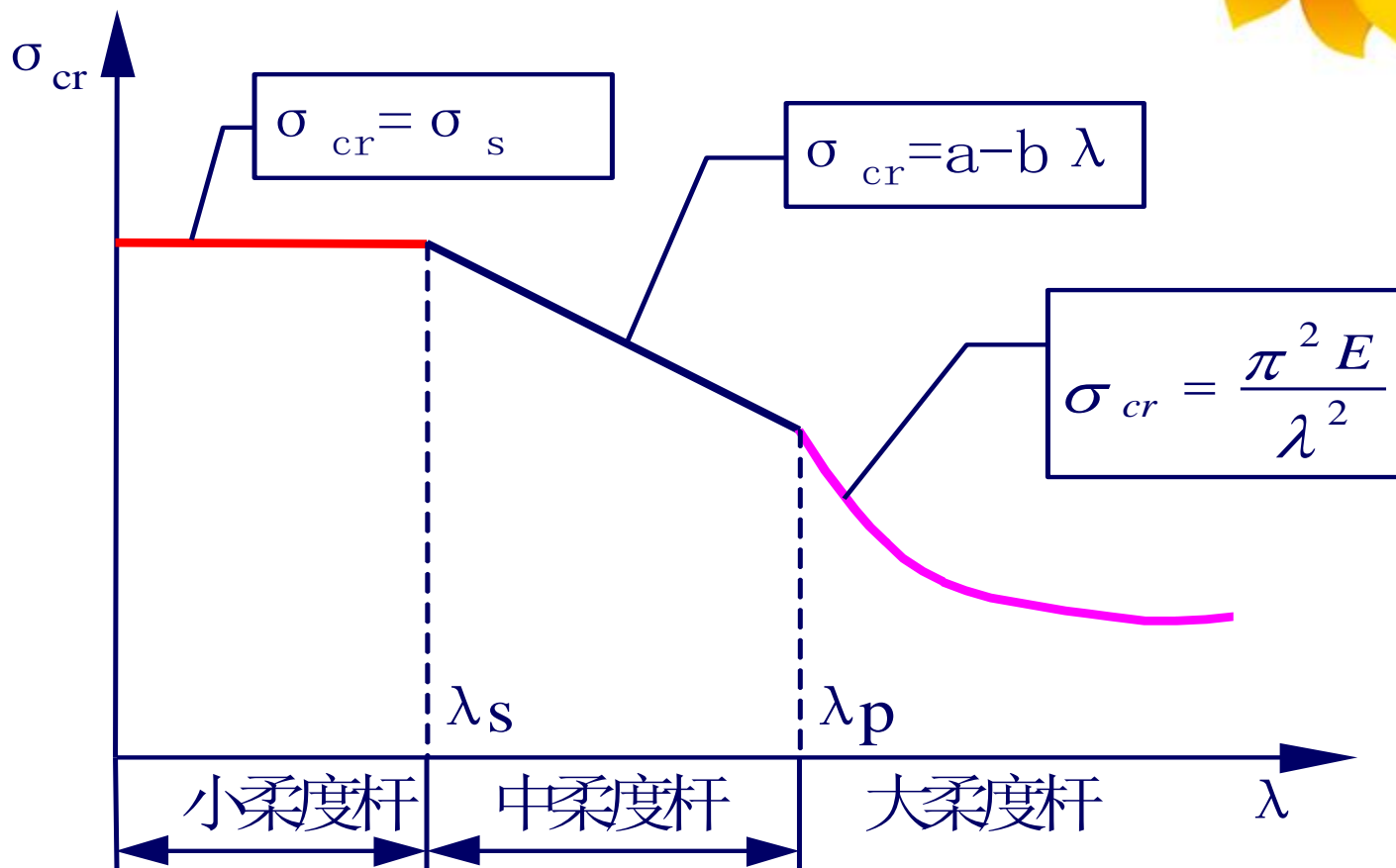
$$\lambda = \frac{\mu l}{i}$$

$$\sigma_{cr} = \frac{\pi^2 E}{\lambda^2}$$

$$\left\{ \begin{array}{l} [\sigma_{cr}] \leq \frac{\sigma_{cr}}{[n_{cr}]} \\ [\sigma_{cr}] = \phi [\sigma] \end{array} \right.$$

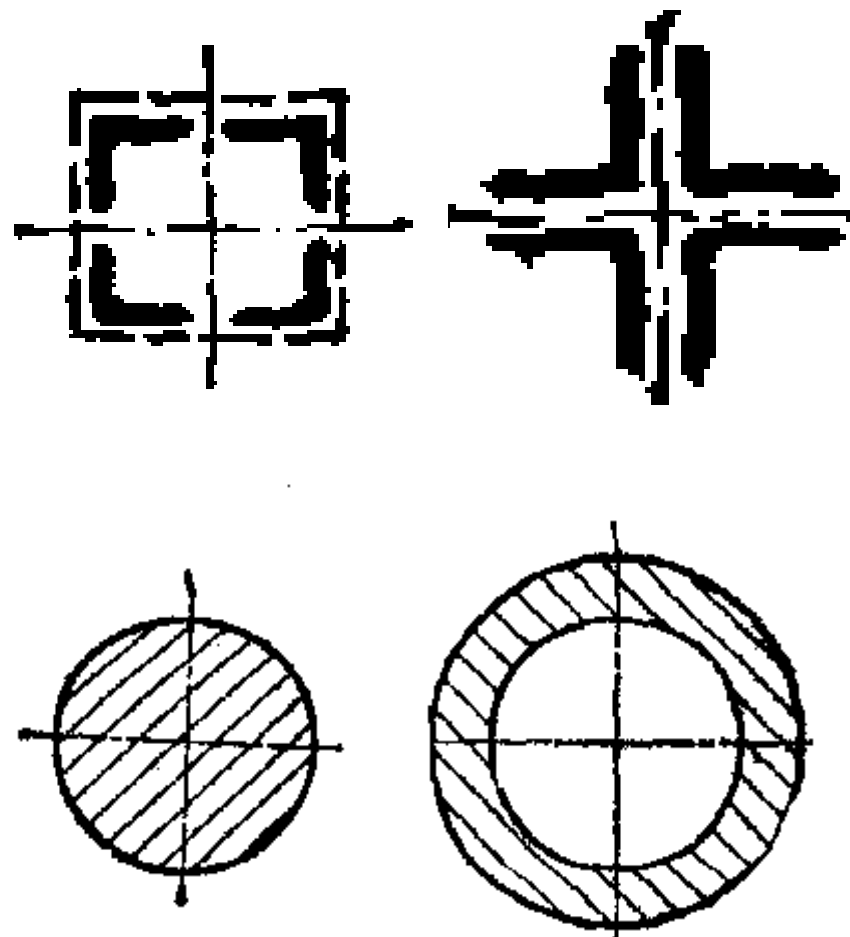
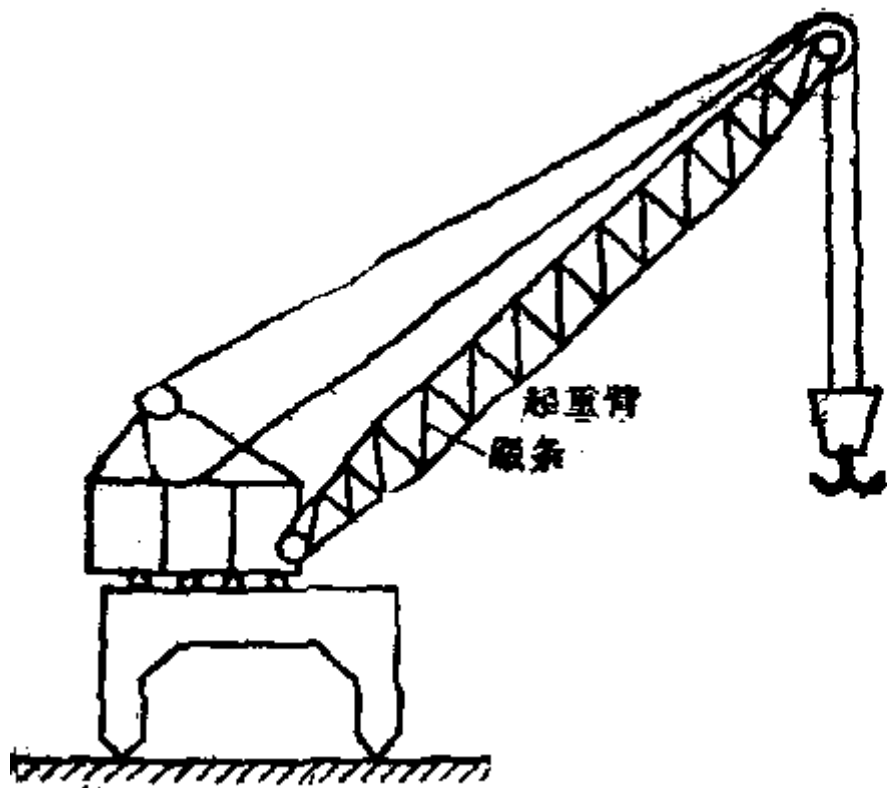
5 提高压杆稳定性的措施

✓ 选用E大的材料



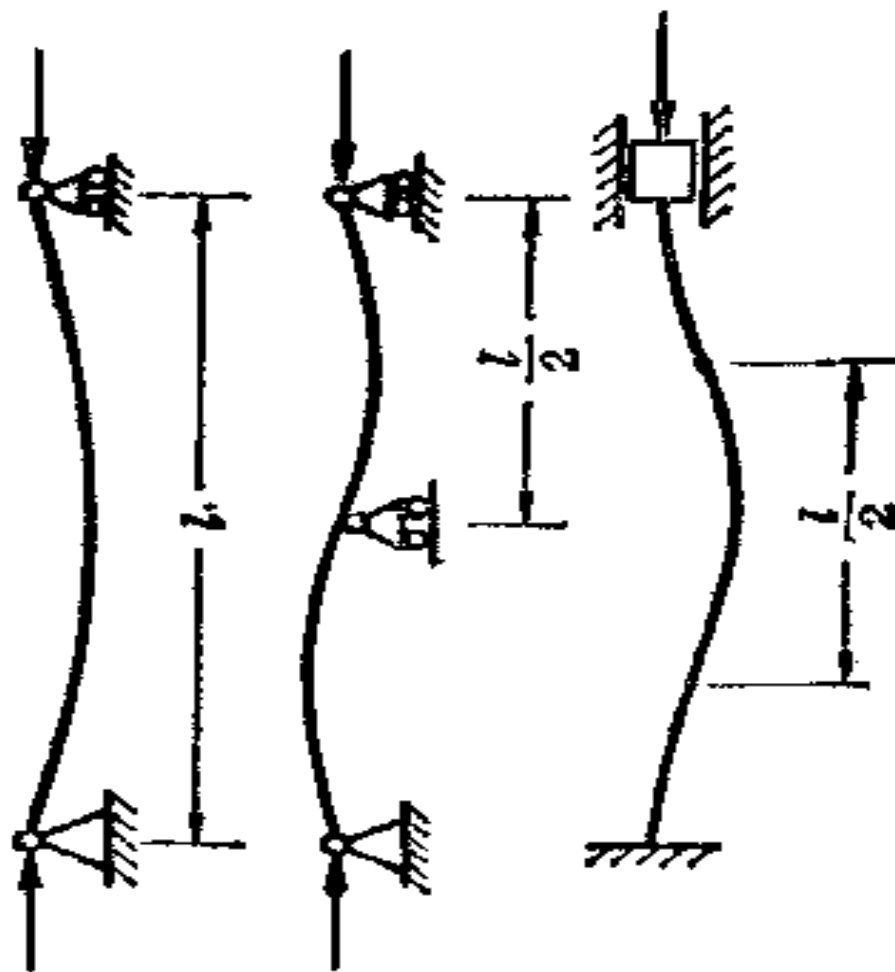
5 提高压杆稳定性的措施

✓ 选择合理的截面形状



5 提高压杆稳定性的措施

✓ 改变压杆的约束条件



本章作业



- 6-4
- 6-6



THANK YOU!